

P13-2013-58

Р. А. Астабатян<sup>1,2</sup>, С. М. Лукьянов<sup>2</sup>, Э. Р. Маркарян<sup>1,2</sup>,  
В. А. Маслов<sup>2</sup>, Ю. Э. Пенионжкевич<sup>2</sup>, В. И. Смирнов<sup>2</sup>

РЕЗУЛЬТАТЫ ИЗМЕРЕНИЙ ИОНИЗАЦИОННЫХ  
ПОТЕРЬ ЭНЕРГИИ ИОНОВ В ОБЛАСТИ  
 $\beta\gamma \approx 0,01-0,06$  В ТОНКИХ ПОГЛОТИТЕЛЯХ

Направлено в журнал «Приборы и техника эксперимента»

---

<sup>1</sup> Ереванский физический институт, Ереван

<sup>2</sup> Объединенный институт ядерных исследований, Дубна

Астабатян Р. А. и др.

P13-2013-58

Результаты измерений ионизационных потерь энергий ионов  
в области  $\beta\gamma \approx 0,01-0,06$  в тонких поглотителях

Приведены результаты измерений ионизационных потерь энергий ионов в малоизученной области  $\beta\gamma = 0,01-0,06$  в тонких ( $x \approx 2 \text{ мкг/см}^2$ ) поглотителях. С этой целью были проведены одновременные измерения ионизационных потерь и времени пролета ионов лавинными газонаполненными детекторами низкого давления  $P \approx 1$  торр, дополненные измерениями остаточной энергии ионов полупроводниковым детектором. Энергия низкоэнергетических ионов с  $\beta\gamma \approx 0,01-0,03$  восстанавливалась измерениями времени пролета. Приводится зависимость  $\Delta E(E)$  для ионов  ${}^4\text{He}$ , Be, C, O.

Работа выполнена в Лаборатории ядерных реакций им. Г. Н. Флерова ОИЯИ.

Препринт Объединенного института ядерных исследований. Дубна, 2013

Astabatyan R. A. et al.

P13-2013-58

The Results of Measurements of Ion Energy Losses in the Range  
of  $\beta\gamma \approx 0.01-0.06$  in Thin Absorbers

The results of measurements of ion energy losses in the insufficiently known range of  $\beta\gamma = 0.01-0.06$  in thin ( $x \approx 2 \text{ mg/cm}^2$ ) absorbers are presented. The energy losses and time of flight of the ions were measured simultaneously using low-pressure avalanche gas-filled detectors at  $P \approx 1$  torr. Also, measurements of the ions residual energy were made by a semiconductor detector. The energy of the ions with  $\beta\gamma \approx 0.01-0.03$  was reconstructed using the time-of-flight measurements. The  $\Delta E(E)$  dependence for  ${}^4\text{He}$ , Be, C, O ions is presented.

The investigation has been performed at the Flerov Laboratory of Nuclear Reactions, JINR.

Preprint of the Joint Institute for Nuclear Research. Dubna, 2013

В предыдущей нашей работе [1] представлена широкоапertureная установка на основе газонаполненных детекторов: МПК (многопроволочной пропорциональной камеры) и лавинных  $\Delta E$ -камер, дополненных стриповыми ППД (полупроводниковыми детекторами). Установка предназначена для измерений низкоэнергетических продуктов реакций в области задних углов вылета, близких к  $\theta \approx 180^\circ$ , в частности исследований высоковозбужденных состояний экзотического ядра  ${}^6\text{He} \rightarrow 2T$ . Регистрация и идентификация ионов осуществляются посредством одновременных измерений ионизационных потерь энергий и времени пролета лавинными  $\Delta E$ -камерами, угловыми измерениями (МПК), измерениями остаточной энергии (ППД).

Приведем выборочно имеющие непосредственное отношение к настоящей работе характеристики установки:

- энергетическое разрешение  $E$ -детектора  $\sigma_E \approx 40$  кэВ;
- энергетическое разрешение лавинных камер (FWHM) не хуже 30 %;
- временное разрешение измерений времени пролета  $\sigma_T \approx 1$  нс;
- энергетический порог регистрации ионов  $\beta\gamma = 0,01$ .

Такой относительно низкий энергетический порог регистрации обусловлен высокой прозрачностью газонаполненных лавинных камер и МПК и предельно низким давлением  $P = 1$  торр рабочего газа. Количество вещества в подавляющей степени определялось толщиной катодов — алюминиевого майлара 1,5–2 мкм. Отметим близкую к 100 % эффективность регистрации ионов всеми газонаполненными камерами, особенно для одно зарядных ионов, для которых средние потери энергий в камере составляют менее кэВ. Это обстоятельство, наряду с приведенным значением разрешения по измерениям потерь энергий в лавинных камерах, является следствием предельно высокой чувствительности порога регистрации, позволяющей регистрировать сигналы от единичной электронной пары [1]. Вышеприведенные характеристики создают уникальную возможность измерения ионизационных потерь энергий в тонких поглотителях ( $x \approx 2$  мкг/см<sup>2</sup>) в малоизученной как экспериментально, так и теоретически [2] области энергий  $\beta\gamma \approx 0,01–0,06$ .

Хорошо известно, что для ионов в этой области энергий скорость частицы становится сравнимой со скоростью атомных электронов, потери энергий перестают описываться формулой Бете–Блоха и разными поправками этой формулы. Данные по удельным потерям энергии ионов, экспериментальные и расчетные, приводятся в многочисленных учебниках и справочниках. Причем подавляющая часть этих данных относится к области высоких и средних энергий в диапазоне релятивистского фактора  $\beta\gamma > 0,1$ . В настоящей работе

представлены результаты ( $\Delta E$ , TOF,  $E$ )-измерений на изотопе  $^{226}\text{Ra}$  в диапазоне энергий 0,2–1,5 МэВ/нуклон, или  $\beta\gamma = 0,01$ –0,06, дополненные ранее проведенными измерениями на пучке ускорителя ИЦ-100 ЛЯР ОИЯИ [3].

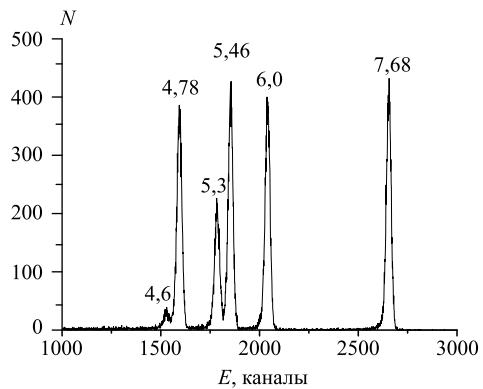


Рис. 1. Энергетический спектр  $^{226}\text{Ra}$  на  $E$ -детекторе. Цифры возле пиков — энергия  $\alpha$ -частиц (в МэВ)

представлены двухмерные ( $\Delta E$ ,  $E$ )- и ( $T$ ,  $E$ )-спектры  $\alpha$ -частиц от  $^{226}\text{Ra}$ , а на рис. 3, 4 — одномерные распределения двухмерных спектров: остаточный энергетический спектр на стриповом  $E$ -детекторе и времяпролетный спектр от лавинных камер. На рис. 3 цифры возле пиков — остаточная энергия  $\alpha$ -частиц от соответствующих им линий: 7,68; 6,0; 5,46; 5,3 МэВ (рис. 1), а на рис. 4 — время пролета  $\alpha$ -частиц (в наносекундах).

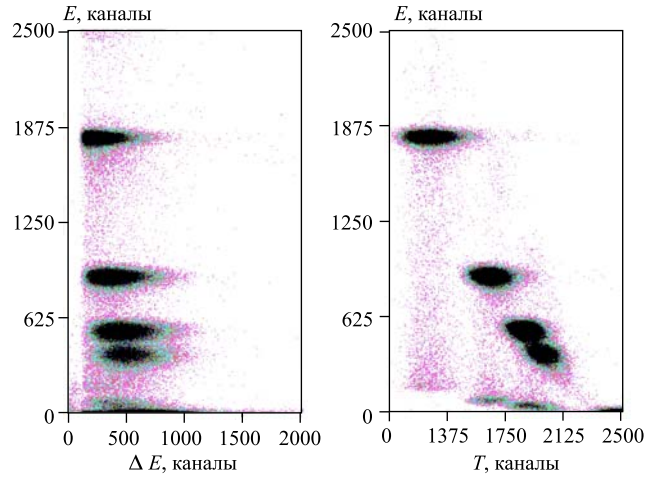


Рис. 2. Двухмерные спектры ( $\Delta E$ ,  $E$ ) и ( $T$ ,  $E$ )  $\alpha$ -частиц от  $^{226}\text{Ra}$

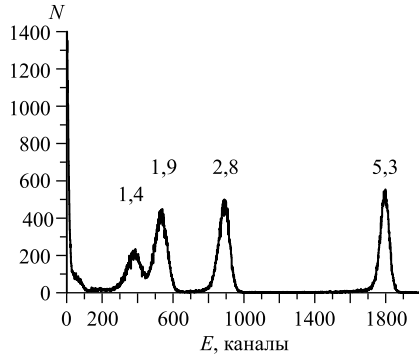


Рис. 3. Остаточный энергетический спектр  $^{226}\text{Ra}$  на  $E$ -детекторе после прохождения лавинных счетчиков и МПК

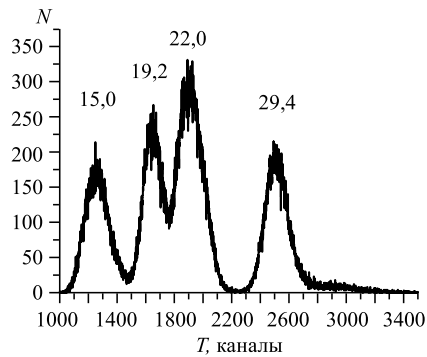


Рис. 4. Времяпролетный спектр для разных линий  $\alpha$ -частиц от  $^{226}\text{Ra}$

Последняя линия  $\alpha$ -спектра (4,78 МэВ) (см. рис. 1) не долетает до  $E$ -детектора, но регистрируется лавинными камерами и соответствует крайнему правому распределению времяпролетного спектра рис. 4. Последняя, отсутствующая на двухмерных спектрах рис. 2 линия, отчетливо проявляется на верхнем локусе двухмерного спектра рис. 5, полученного из тех же данных. Восстановленный по времени пролета энергетический диапазон  $\alpha$ -частиц лежит в низкоэнергетическом интервале и представляет особый интерес.

Аномальный «хвост» на верхнем локусе рис. 5 характеризует переход в область уменьшающихся удельных потерь частиц при  $\beta\gamma \leqslant 0,03$ . Отметим, что эта область энергий достигалась подбором соответствующего поглотителя.

Из данных, представленных на рис. 2–5, вычислялись средние значения ионизационных потерь в зависимости от энергии  $\alpha$ -частицы: в энергетическом интервале 0,5–1,5 МэВ/нуклон ( $\beta\gamma \approx 0,03–0,06$ ) по  $(\Delta E, E)$ -измерениям (рис. 2); в низкоэнергетической области 0,1–0,5 МэВ/нуклон ( $\beta\gamma \approx 0,01–0,03$ ) по  $(T, E)$ -измерениям (верхний локус рис. 5).

Аналогичные данные для ионов Be, C, O были получены при анализе работы [1] по идентификации низкоэнергетических ионов на пучке Xe с энергией 1,26 МэВ/нуклон ускорителя ИЦ-100 ЛЯР ОИЯИ [3]. Установка

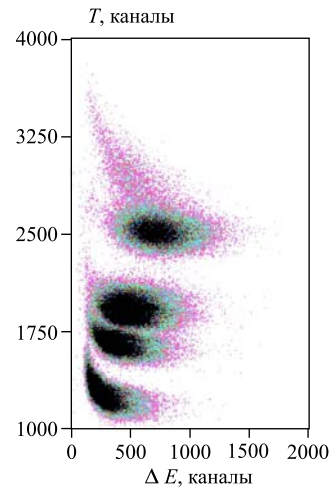


Рис. 5. Двухмерный спектр  $(\Delta E, T)$  линий  $\alpha$ -частиц от  $^{226}\text{Ra}$

находилась под углом  $(45 \pm 3)^\circ$  к расположенным на оси пучка мишениям Be, C и майлара. Средняя энергия упругорассеянных ядер непосредственно из мишеней составляла 14, 18,5, 23,2 МэВ для ядер Be, C, O соответственно. Ядра с такими низкими энергиями не достигают  $E$ -детектора при прохождении входного окна и лавинных камер установки, поэтому их идентификация осуществлялась исключительно по времени пролета и ионизационным потерям.

На рис. 6 представлен пример из работы [1] двухмерного спектра ( $\Delta E$ ,  $T$ ) с ярко выраженным протяженным «хвостом», как на верхнем локусе рис. 5 для  $\alpha$ -частиц. Из таких данных была получена зависимость ионизационных потерь от энергии ионов Be, C, O.

На рис. 7 приведена вся совокупность данных по ионизационным потерям ионов  ${}^4\text{He}$ , Be, C, O. Правая часть кривой рис. 7 получена из данных

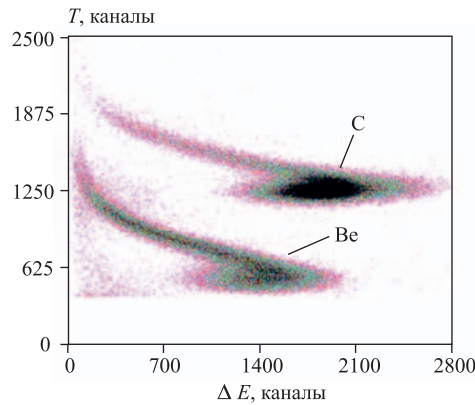


Рис. 6. Двухмерные спектры ( $\Delta E$ ,  $T$ ) ядер отдачи из углеродной и бериллиевой мишеней

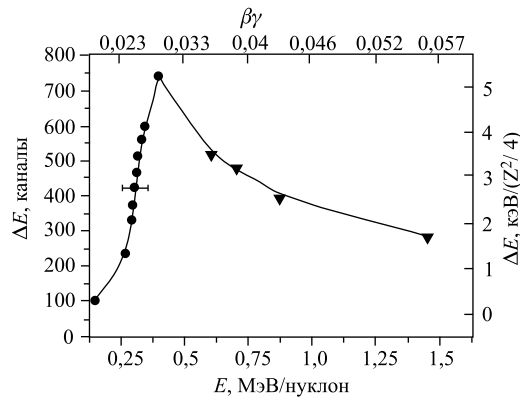


Рис. 7. Зависимость ионизационных потерь в изобутане ( $x = 2 \text{ мкг/см}^2$ ) от энергии ионов: ● —  ${}^4\text{He}$ , Be, C, O; ▼ —  ${}^4\text{He}$

$(\Delta E, E)$  для  $\alpha$ -частиц, скорректированных на поглощение в выходном майпировом электроде второй лавинной камеры на входе в  $E$ -детектор. Левая же часть кривой получена из данных  $(\Delta E, T)$  для  $\alpha$ -частиц и ионов Be, C, O, не долетающих до  $E$ -детектора, при этом энергии частиц восстанавливались по времени пролета с коррекцией на поглощение на входном майпировом электроде второй лавинной камеры. Эта коррекция энергий, а также расчеты абсолютных значений средних ионизационных потерь производились по программе LISE [4] и могут содержать систематические ошибки в левой части рис. 7 в области энергий 0,1–0,5 МэВ/нуклон ( $\beta\gamma \approx 0,01–0,03$ ). Все измеренные величины рис. 7 содержат средние значения, поэтому статистическая ошибка минимальна, а отмеченная ошибка на одной из точек показывает оценочную величину разброса точек для разных ионов в левой части рисунка.

Авторы выражают благодарность персоналу ускорителя ИЦ-100 за содействие и сотрудничество.

## ЛИТЕРАТУРА

1. Астабатян Р. А. и др. // ПТЭ. 2012. №3. С. 40–48.
2. Bichsel H., Groom D. E., Klein S. R. Passage of Particles through Matter. 2012. § 30. P. 9. <http://pdg.lbl.gov>.
3. Гикал Б. Н. и др. Препринт ОИЯИ Р9-2007-20. Дубна, 2007.
4. <http://lise.nscl.msu.edu/lise.html>

Получено 4 июня 2013 г.

Редактор *A. И. Петровская*

Подписано в печать 18.09.2013.

Формат 60 × 90/16. Бумага офсетная. Печать офсетная.  
Усл. печ. л. 0,5. Уч.-изд. л. 0,59. Тираж 245 экз. Заказ № 58065.

Издательский отдел Объединенного института ядерных исследований  
141980, г. Дубна, Московская обл., ул. Жолио-Кюри, 6.  
E-mail: [publish@jinr.ru](mailto:publish@jinr.ru)  
[www.jinr.ru/publish/](http://www.jinr.ru/publish/)